

## МОДУЛИ НА БЫСТРОДЕЙСТВУЮЩИХ ТИРИСТОРАХ

### 2. 3. Модули на быстродействующих тиристорах \*

Представляют собой комбинации тиристоров быстродействующих (МТБТБ). Модули на быстродействующих тиристорах представлены следующими типоразмерами:

МТБТБ4/3-50, МТБТБ4/3-63.

Предназначены для работы в высокочастотных цепях переменного тока. Применяются в преобразователях электрической энергии.

Схема соединения элементов модуля на быстродействующих тиристорах приведена на рис. 2. 57.

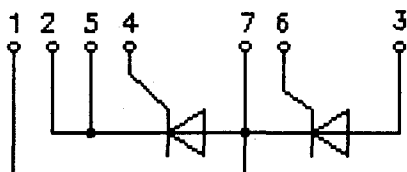


Рис. 2. 57. Схема соединения полупроводниковых элементов модуля на быстродействующих тиристорах

Предельно допустимые значения параметров модулей на быстродействующих тиристорах приведены в табл. 2. 9, параметры и характеристики - табл. 2. 10, параметры и характеристики модулей с охладителями - табл. 2. 11, 2. 12.

\* Изменение в каталоге: в связи со снятием с производства рекомендуемых охладителей заменить О127 на ОР344-120, О227 на ОР344-180 по ТУ У 32.1-30077685-015-2004 (Габаритные чертежи на [www.element.zp.ua](http://www.element.zp.ua) в Списке продукции/Охладители). При этом все тепловые расчеты и характеристики сохраняются.

Таблица 2. 9.

Параметр		Значение параметра		Условия установления норм на параметры
Обозначение	Наименование, единица измерения	Тип модуля		
		МТБТБ4/3-50	МТБТБ4/3-63	
1	2	3	4	5
$U_{DRM}$ $U_{RRM}$	Повторяющееся импульсное напряжение в закрытом состоянии и повторяющееся импульсное обратное напряжение, В, для классов 2 3 4 5 6 7 8 9 10 11 12		200 300 400 500 600 700 800 900 1000 1100 1200	$T_{jm} = 125 \text{ }^\circ\text{C}$ . Импульс напряжения синусоидальный, однополупериодный длительностью 10 мс, частота 50 Гц.
$U_{DSM}$ $U_{RSM}$	Неповторяющееся импульсное напряжение в закрытом состоянии и неповторяющееся импульсное обратное напряжение, В		$1,12U_{DRM}$ $1,12U_{RRM}$	$T_{jm} = 125 \text{ }^\circ\text{C}$ . Импульс напряжения синусоидальный, однополупериодный длительностью 10 мс, частота 50 Гц.
$U_{DWM}$ $U_{RWM}$	Рабочее импульсное напряжение в закрытом состоянии и рабочее импульсное обратное напряжение, В		$0,8U_{DRM}$	$T_{jm} = 125 \text{ }^\circ\text{C}$ . Импульс напряжения синусоидальный, однополупериодный длительностью 10 мс, частота 50 Гц.

## МОДУЛИ НА БЫСТРОДЕЙСТВУЮЩИХ ТИРИСТОРАХ

Продолжение табл. 2. 9

1	2	3	4	5
$U_D$ $U_R$	Постоянное напряжение в закрытом состоянии и постоянное обратное напряжение, В	$0,6U_{DRM}$ $0,6U_{RRM}$		$T_c = 85^\circ\text{C}$ .
$I_{T(AV)}$	Максимально допустимый средний ток в открытом состоянии, А	50	63	$T_c = 85^\circ\text{C}$ . Импульс тока синусоидальный, однополупериодный длительностью 10 мс, частота 50 Гц.
$I_{TRMS}$	Действующий ток в открытом состоянии, А	78	100	Импульс тока синусоидальный, однополупериодный длительностью 10 мс, частота 50 Гц.
$I_{TSM}$	Ударный ток в открытом состоянии, А	1100	1200	$T_j = 25^\circ\text{C}$ ; $U_R = 0$ . Импульс тока синусоидальный, однополупериодный, одиночный, длительностью 10 мс.
		1000	1100	$T_j = T_{jm}$ ; $U_R = 0$ . Импульс тока синусоидальный, однополупериодный, одиночный, длительностью 10 мс.
$\left(\frac{di_T}{dt}\right)_{crit}$	Критическая скорость нарастания тока в открытом состоянии, А/мкс	160		$T_j = T_{jm}$ ; $U_D = 0,67U_{DRM}$ $2I_{TAV} \leq I_{TM} \leq 5I_{TAV}$ . Импульс тока синусоидальный, однополупериодный частота 1 - 5 Гц, время испытаний не более 10 с. Режим цепи управления: форма - трапецеидальная; длительность импульса тока 50 мкс длительность фронта - 1 мкс; амплитуда импульса тока управления - 3 $I_{GT}$ при $T_j = \text{минус } 40^\circ\text{C}$ . Внутреннее сопротивление источника управления 20 Ом.
$U_{isol}$	Электрическая прочность изоляции между беспотенциальным основанием модуля и его выводами (действующее значение), В	2000 (для 2-8 кл.) 2500 (для 9-12 кл.)		Напряжение синусоидальное, частота 50 Гц. Время выдержки под напряжением - 60 с. Выводы 1,2,3 закорочены между собой.
$T_{jm}$ $T_{jmin}$	Температура перехода, $^\circ\text{C}$ : максимально допустимое значение; минимально допустимое значение.	125 минус 40		-
$T_{stgmax}$ $T_{stgmin}$	Температура хранения, $^\circ\text{C}$ : максимально допустимое значение; минимально допустимое значение.	40 (для У2), 50 (для Т3) минус 40		-

## МОДУЛИ НА БЫСТРОДЕЙСТВУЮЩИХ ТИРИСТОРАХ

Таблица 2. 10.

## Характеристики и параметры модулей на быстродействующих тиристорах

Параметр		Значение параметра		Условия установления норм на параметры
Обозначение	Наименование, единица измерения	Тип модуля		
		МТБТБ4/3-50	МТБТБ4/3-63	
1	2	3	4	5
$U_{TM}$	Импульсное напряжение в открытом состоянии, В, не более	2,3		$T_j = 25^\circ\text{C}; I_{TM} = 3,14I_{T(AV)}$ .
$U_{T(TO)}$	Пороговое напряжение в открытом состоянии, В	1,2	1,2	$T_j = 125^\circ\text{C}$ .
$r_T$	Динамическое сопротивление в открытом состоянии, Ом	0,0070	0,0056	$T_j = 125^\circ\text{C}$ .
$I_{DRM}$ $I_{RRM}$	Повторяющийся импульсный ток в закрытом состоянии и повторяющийся импульсный обратный ток, мА, не более	9,0	12,0	$T_j = 125^\circ\text{C};$ $U_D = U_{DRM};$ $U_R = U_{RRM}$ .
$I_H$	Ток удержания, мА, не более	120		$T_j = 25^\circ\text{C}; U_D = 12\text{ В}.$ Цепь управления разомкнута.
$\left(\frac{dU_D}{dt}\right)_{crit}$	Критическая скорость нарастания напряжения в закрытом состоянии, В/мкс, для групп: 2 4 6 7	50 200 500 1000		$T_j = T_{jmin}; U_{DM} = 0,67U_{DRM};$ $t_{UD} = 200\text{ мкс}.$ Цепь управления разомкнута.
$t_{gt}$	Время включения, мкс, не более, для групп: 0 1 2	Не нормируется 4,0 3,2		$T_j = 25^\circ\text{C}; U_D = 100\text{ В}.$ Режим цепи управления: Форма импульса - трапециевидная; амплитуда - $3I_{GT}$ , при $T_j = T_{jmin}$ ; длительность импульса - 50 мкс; длительность фронта - 1 мкс.
$t_q$	Время выключения, мкс, не более, для групп: 4 5 6 7	32 25 20 16		$T_j = T_{jmin}; I_{TM} = I_{T(AV)};$ $\left(\frac{dI_T}{dt}\right)_f = 5\text{ А/мкс};$ $t_{it} \leq 500\text{ мкс}; U_R = 100\text{ В};$ Форма - трапециевидная. Повторное напряжение в закрытом состоянии: $\left(\frac{dU_D}{dt}\right) = 50\text{ В/мкс};$ $U_{DM} = 0,67U_{DRM}; t_U \leq 200\text{ мкс}.$

**МОДУЛИ НА БЫСТРОДЕЙСТВУЮЩИХ ТИРИСТОРАХ**

Продолжение табл. 2. 10

1	2	3	4	5
$U_{GT}$	Отпирющее постоянное напряжение управления, В, не более	4,0		$T_{jmin}$ = минус 40 °С; $U_D$ = 12 В. Сопротивление цепи тока в открытом состоянии 10 Ом.
		3,0		$T_j$ = 25 °С; $U_D$ = 12 В. Сопротивление цепи тока в открытом состоянии 10 Ом.
$I_{GT}$	Отпирющий постоянный ток управления, мА, не более	150		$T_j$ = 25 °С; $U_D$ = 12 В. Сопротивление цепи тока в открытом состоянии 10 Ом.
		300		$T_{jmin}$ = минус 40 °С; $U_D$ = 12 В. Сопротивление цепи тока в открытом состоянии 10 Ом.
$U_{GD}$	Неотпирющее постоянное напряжение управления, В, не более	0,25		$T_j = T_{jmin}$ ; $U_D = 0,67U_{DRM}$ . Напряжение источника управления постоянное.
$R_{thic}$	Тепловое сопротивление переход - корпус, °С/Вт, на элемент	0,35	0,30	Постоянный ток.

Таблица 2. 11.

**Характеристики и параметры модулей на быстродействующих тиристорах с охладителем O127\***

Параметр		Значение параметра		Условия установления норм на параметры
Обозначение	Наименование, единица измерения	Тип модуля		
		МТБТБ4/3-50	МТБТБ4/3-63	
		Тип охладителя		
		O127*		
1	2	3	4	5
$I_{T(AV)}$	Средний ток в открытом состоянии, А	36 25 15 11	40 27 16 12	Естественное охлаждение. $T_a$ = 40 °С. Ток синусоидальный, частота 50 Гц. В проводящем состоянии находится: 1 элемент 2 элемента 4 элемента 6 элементов.
$R_{thja}$	Тепловое сопротивление переход - среда одного элемента, °С/Вт	1,25 2,05 3,65 5,25	1,20 2,00 3,60 5,20	В проводящем состоянии находится: 1 элемент 2 элемента 4 элемента 6 элементов.
$R_{thch}$	Тепловое сопротивление корпус - контактная поверхность охладителя, °С/Вт	0,1		Естественное охлаждение. Постоянный ток.

\* см. изменение на стр. 1 pdf (стр. 53 каталога)

## МОДУЛИ НА БЫСТРОДЕЙСТВУЮЩИХ ТИРИСТОРАХ

Таблица 2. 12.

## Характеристики и параметры модулей на быстродействующих тиристорах с охладителем O227 \*

Параметр		Значение параметра		Условия установления норм на параметры
Обозначение	Наименование, единица измерения	Тип модуля		
		МТБТБ4/3-50	МТБТБ4/3-63	
		Тип охладителя		
		O227 *		
1	2	3	4	5
$I_{T(AV)}$	Средний ток в открытом состоянии, А	40 28 18 13	44 30 19 14	Естественное охлаждение. $T_a = 40$ °С. Ток синусоидальный, частота 50 Гц. В проводящем состоянии находится: 1 элемент 2 элемента 4 элемента 6 элементов.
$R_{thja}$	Тепловое сопротивление переход - среда одного элемента, °С/Вт	1,11 1,77 3,09 4,41	1,06 1,72 3,04 4,36	В проводящем состоянии находится: 1 элемент 2 элемента 4 элемента 6 элементов.
$R_{thch}$	Тепловое сопротивление корпус - контактная поверхность охладителя, °С/Вт	0,1		Естественное охлаждение. Постоянный ток.

Предельные вольтамперные характеристики СПМ на быстродействующих тиристорах в открытом состоянии приведены на рис. 2. 58.

Зависимости допустимого среднего тока в открытом состоянии от температуры корпуса показаны на рис. 2. 59 и 2. 60.

Зависимости допустимой амплитуды ударного тока в открытом состоянии от его длительности приведены на рис. 2. 61.

Зависимости средней рассеиваемой мощности от тока в открытом состоянии при различных углах проводимости показаны на рис. 2. 62 и 2. 63.

Зависимость времени включения и времени задержки от амплитуды управляющего импульса представлена на рис. 2. 64.

Зависимость времени задержки включения от скорости нарастания тока управляющего импульса показана на рис. 2. 65.

Зависимость времени выключения модуля от обратного напряжения - на рис. 2. 66, от значения предшествующего тока в открытом состоянии - на рис. 2. 67, от скорости спада тока в открытом состоянии - на рис. 2. 68.

Зависимость времени выключения модуля от скорости нарастания напряжения в закрытом состоянии показана на рис. 2. 69. Зависимость времени выключения от температуры перехода приведена на рис. 2. 70.

Предельные характеристики цепей управления модулей показаны на рис. 2. 71.

Зависимость отпирающего импульсного тока управления от длительности управляющего импульса приведена на рис. 2. 72.

Зависимости допустимого среднего тока модулей в открытом состоянии при различных условиях от температуры окружающей среды приведены на рис. 2. 73 и 2. 74. \*

Зависимости переходных тепловых сопротивлений показаны на рис. 2. 75. \*

Зависимости допустимых нагрузок модулей при использовании охладителей приведены на рис. 2. 76 - 2. 81 \*

\* см. изменение на стр. 1 pdf (стр. 53 каталога)

## МОДУЛИ НА БЫСТРОДЕЙСТВУЮЩИХ ТИРИСТОРАХ

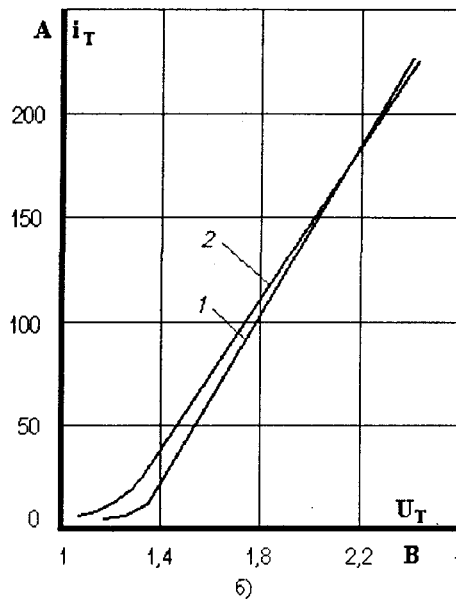
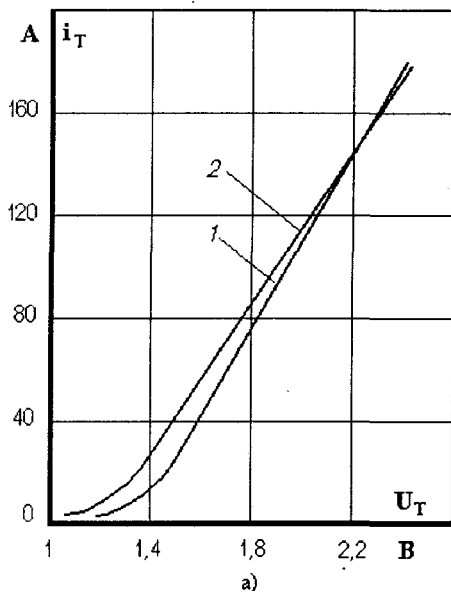


Рис. 2. 58. Предельные вольтамперные характеристики в открытом состоянии при температуре перехода  $T_j = 25\text{ }^\circ\text{C}$  (1) и максимальной температуре перехода  $T_{jm} = 125\text{ }^\circ\text{C}$  (2):

- а) МТБТБ4/3-50;
- б) МТБТБ4/3-63.

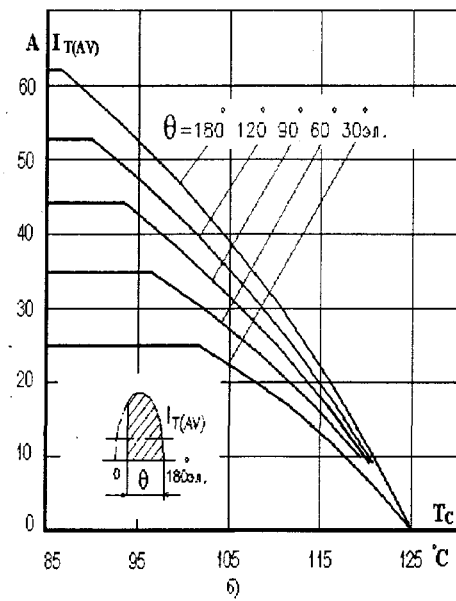
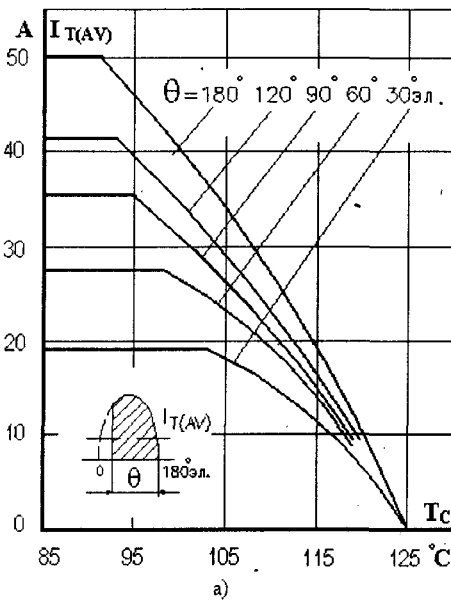


Рис. 2. 59. Зависимости допустимого среднего тока модуля синусоидальной формы в открытом состоянии  $I_{T(AV)}$ , частотой 50 Гц, от температуры корпуса  $T_C$  при различных углах проводимости:

- а) МТБТБ4/3-50;
- б) МТБТБ4/3-63.

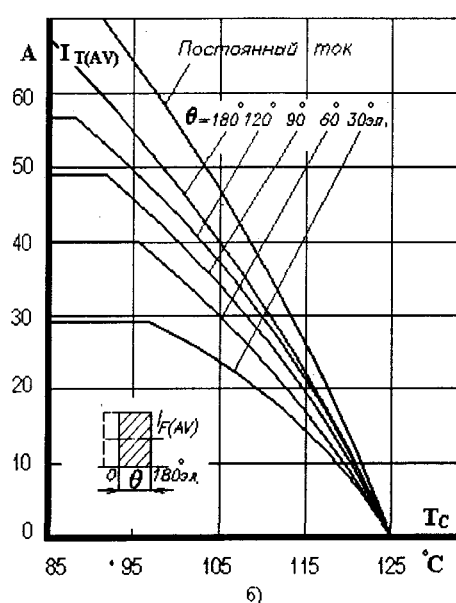
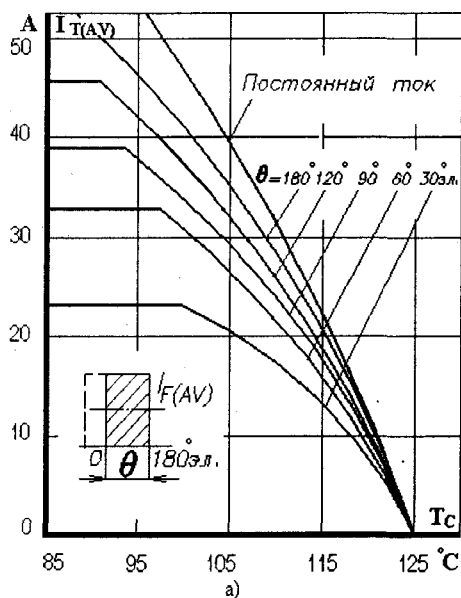


Рис. 2. 60. Зависимости допустимого среднего тока прямоугольной формы в открытом состоянии  $I_{T(AV)}$ , частотой 50 Гц, от температуры корпуса  $T_C$  при различных углах проводимости:

- а) МТБТБ4/3-50;
- б) МТБТБ4/3-63.

МОДУЛИ НА БЫСТРОДЕЙСТВУЮЩИХ ТИРИСТОРАХ

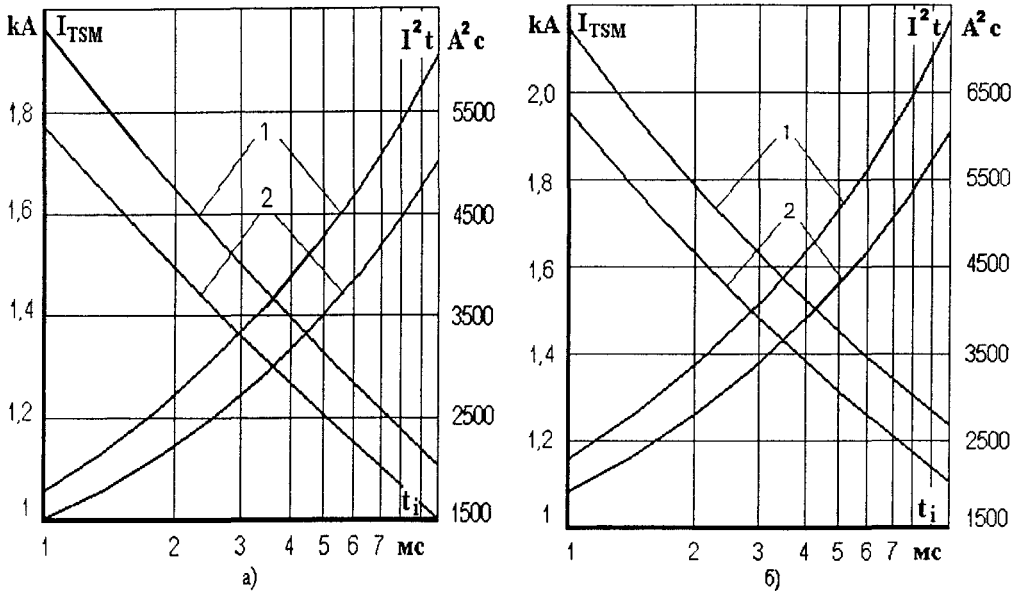


Рис. 2. 61. Зависимости допустимой амплитуды ударного тока в открытом состоянии  $I_{TSM}$  и защитного показателя  $I^2t$  от длительности импульса тока  $t_i$  при температуре перехода  $T_j = 25^\circ C$  (1) и максимальной температуре перехода  $T_{jm} = 125^\circ C$  (2):

а) МТБТБ4/3-50;  
б) МТБТБ4/3-63.

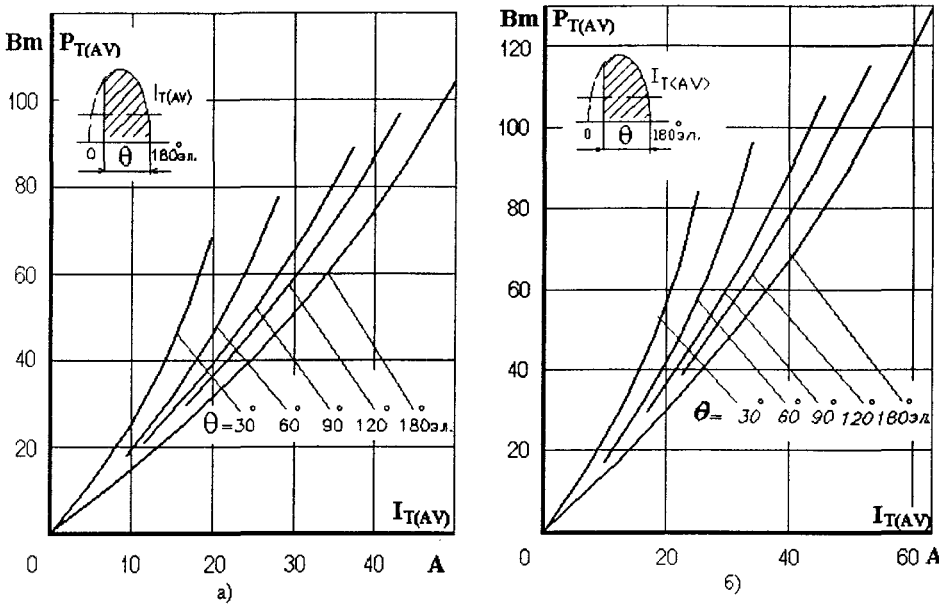


Рис. 2. 62. Зависимости средней рассеиваемой мощности  $P_{T(AV)}$  от среднего тока синусоидальной формы в открытом состоянии  $I_{T(AV)}$  при различных углах проводимости:

а) МТБТБ4/3-50;  
б) МТБТБ4/3-63.

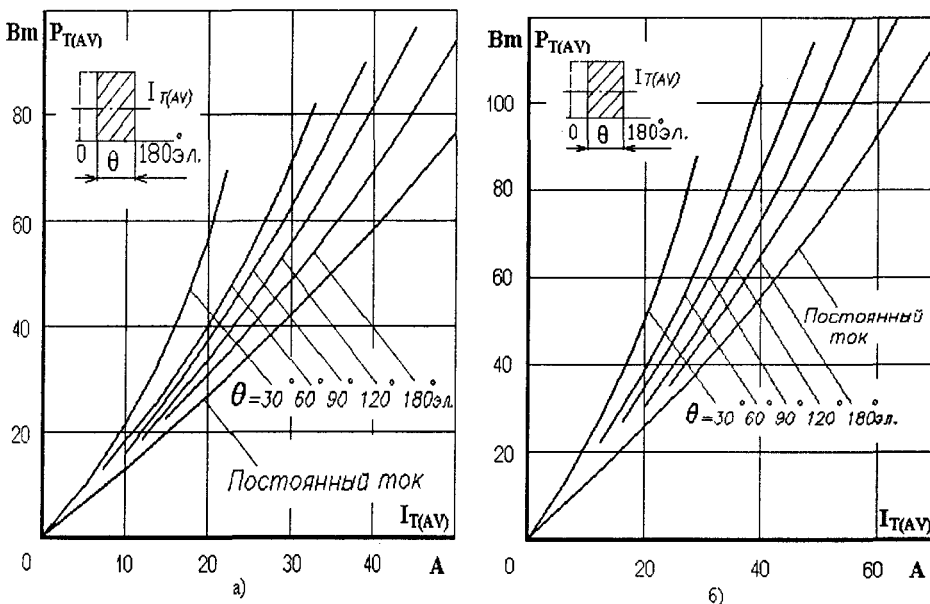


Рис. 2. 63. Зависимости средней рассеиваемой мощности  $P_{T(AV)}$  от среднего тока прямоугольной формы в открытом состоянии  $I_{T(AV)}$  при различных углах проводимости:

а) МТБТБ4/3-50;  
б) МТБТБ4/3-63.

МОДУЛИ НА БЫСТРОДЕЙСТВУЮЩИХ ТИРИСТОРАХ

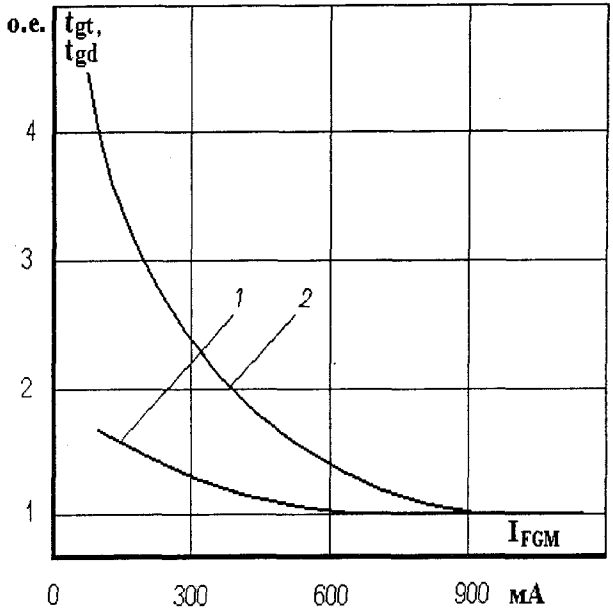


Рис. 2. 64. Зависимости времени включения  $t_{gt}$  (1) и времени задержки  $t_{gd}$  (2) от амплитуды управляющего импульса  $I_{FGM}$  при температуре перехода  $T_j = 25^\circ\text{C}$ ,  $t_G = 50 \text{ мкс}$ ,  $di_G/dt = 1 \text{ А/мкс}$ ,  $U_D s = 100 \text{ В}$ ;  $I_{TM} = I_{T(AV)}$

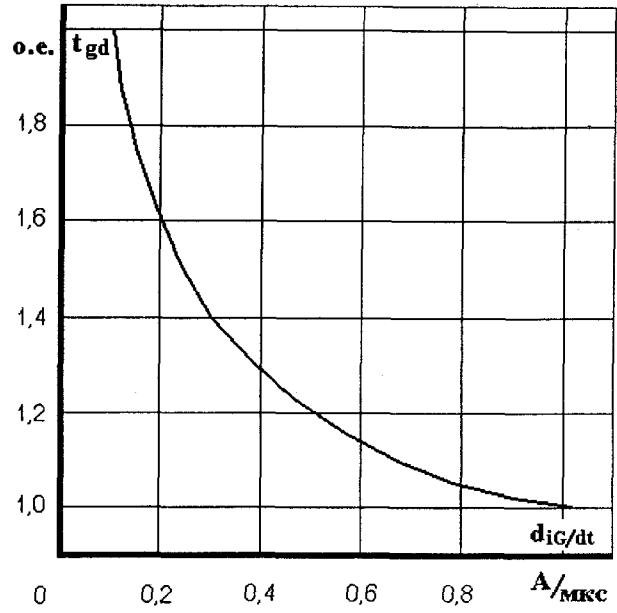


Рис. 2. 65. Зависимость времени задержки  $t_{gd}$  от скорости нарастания тока управляющего импульса  $di_G/dt$  при температуре перехода  $T_j = 25^\circ\text{C}$ ,  $t_G = 50 \text{ мкс}$ ,  $U_D = 100 \text{ В}$ ,  $I_G = 900 \text{ мА}$

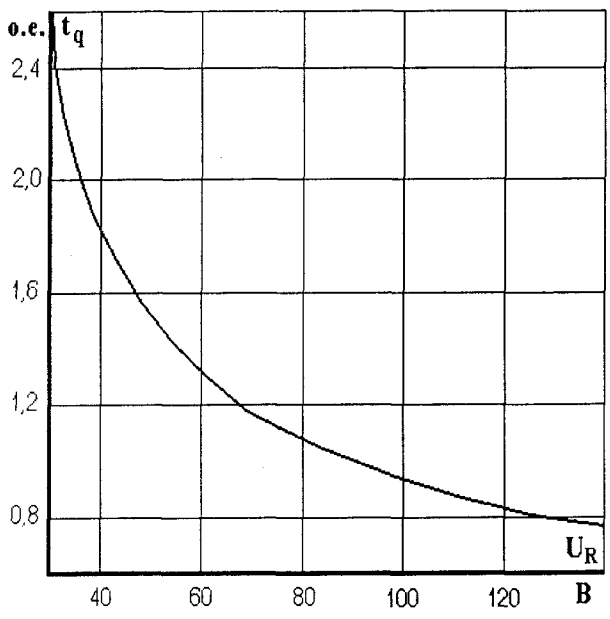


Рис. 2. 66. Зависимость времени выключения  $t_q$  от обратного напряжения  $U_R$  при максимальной температуре перехода  $T_{jm} = 125^\circ\text{C}$ ,  $I_{TM} = I_{T(AV)}$ ,  $dU_D/dt = 50 \text{ В/мкс}$ ,  $U_D = 0,67U_{DRM}$ ,  $(di_T/dt)_f = 5 \text{ А/мкс}$

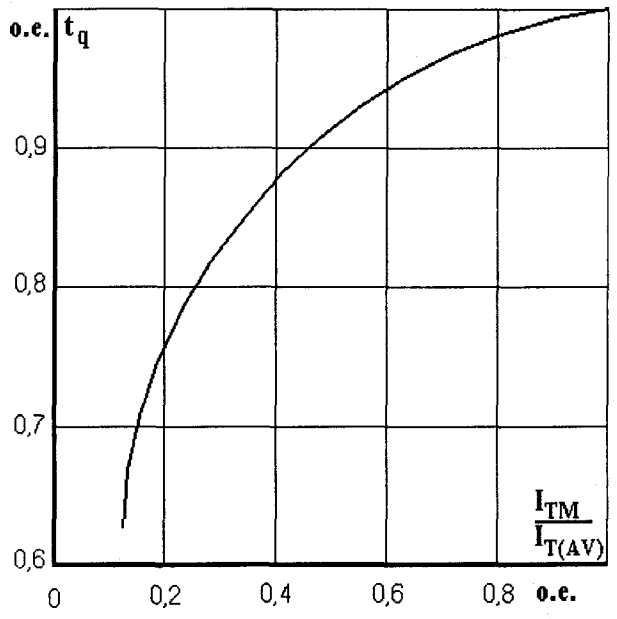


Рис. 2. 67. Зависимость времени выключения  $t_q$  от амплитуды предшествующего тока в открытом состоянии  $I_{TM}/I_{T(AV)}$  при  $T_{jm} = 125^\circ\text{C}$ ,  $U_R=100 \text{ В}$ ,  $(di_T/dt)_f = 5 \text{ А/мкс}$ ,  $dU_D/dt = 50 \text{ В/мкс}$ ,  $U_D = 0,67U_{DRM}$

## МОДУЛИ НА БЫСТРОДЕЙСТВУЮЩИХ ТИРИСТОРАХ

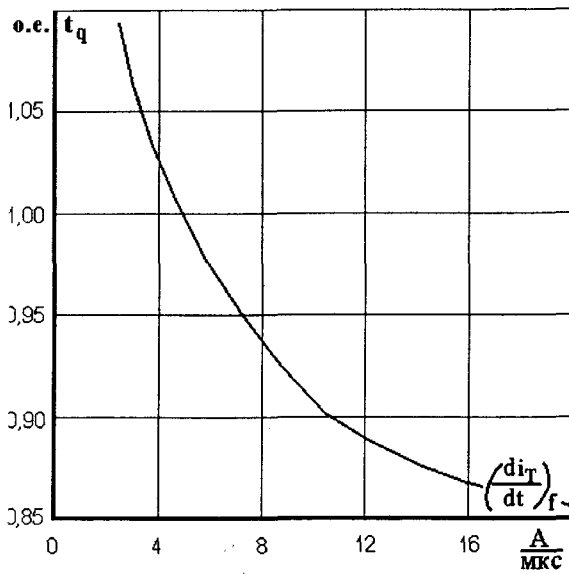


Рис. 2. 68. Зависимость времени выключения  $t_q$  от скорости спада тока в открытом состоянии  $(di_T/dt)_f$  при  $T_{jm} = 125^\circ\text{C}$ ,  $I_{TM} = I_{T(AV)}$ ,  $dU_D/dt = 50 \text{ В/мкс}$ ,  $U_D = 0,67U_{DRM}$ ,  $U_R = 100 \text{ В}$

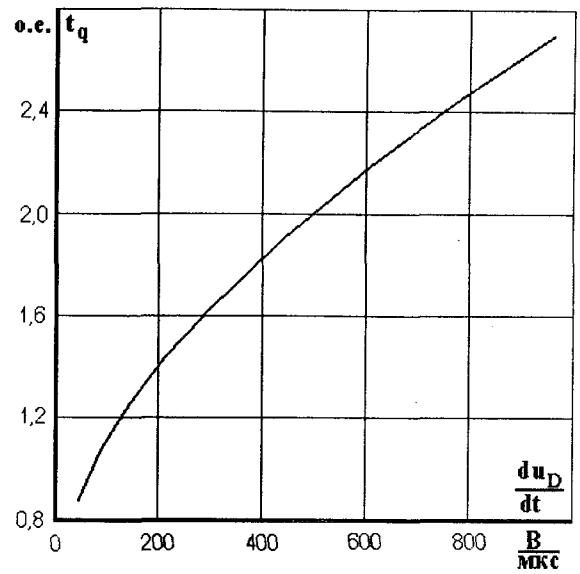


Рис. 2. 69. Зависимость времени выключения  $t_q$  от скорости нарастания напряжения в закрытом состоянии  $dU_D/dt$  при  $T_{jm} = 125^\circ\text{C}$ ,  $I_{TM} = I_{T(AV)}$ ,  $U_D = 0,67U_{DRM}$ ,  $U_R = 100 \text{ В}$ ,  $(di_T/dt)_f = 5 \text{ А/мкс}$

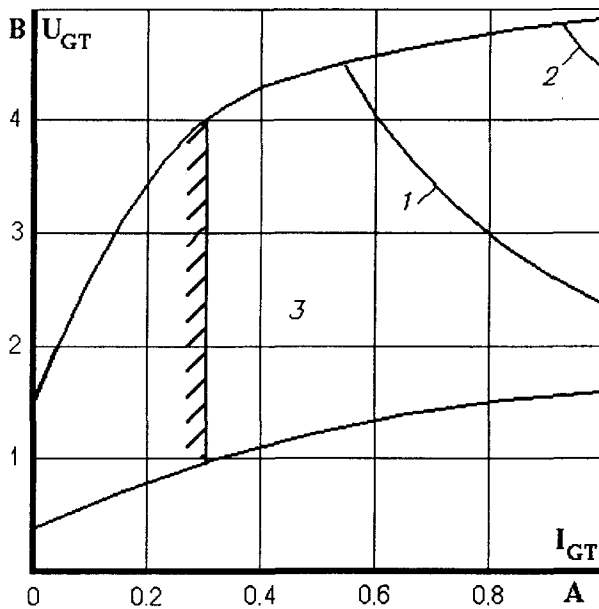


Рис. 2. 71. Предельные характеристики цепи управления

Позиция на рис.	Скважность	Длительность импульса тока управления $t_G$ , мс	Допустимая импульсная мощность управления $P_{GM}$ , Вт
1	Пост. ток	-	2,4
2	2	10	4,5

3 - область гарантированного отпирания при  $T_j$  минус  $40^\circ\text{C}$

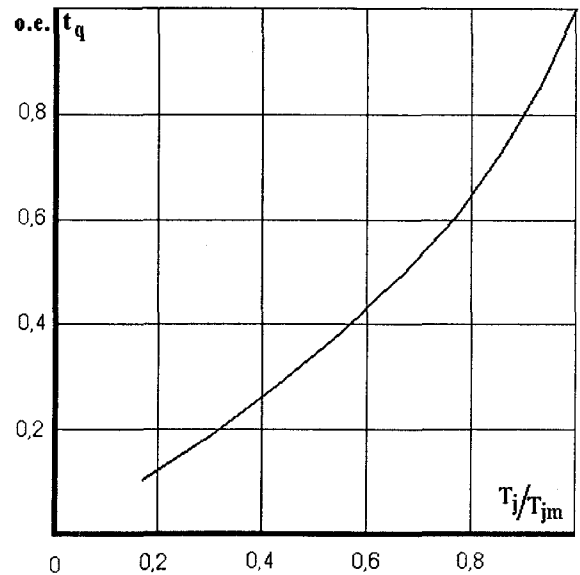


Рис. 2. 70. Зависимость времени выключения  $t_q$  от температуры перехода  $T_j / T_{jm}$  при  $I_{TM} = I_{T(AV)}$ ,  $U_R = 100 \text{ В}$ ,  $(\frac{di_T}{dt})_f = 5 \text{ А/мкс}$ ,  $U_D = 0,67U_{DRM}$ ,  $(\frac{dU_D}{dt}) = 50 \text{ В/мкс}$

## МОДУЛИ НА БЫСТРОДЕЙСТВУЮЩИХ ТИРИСТОРАХ

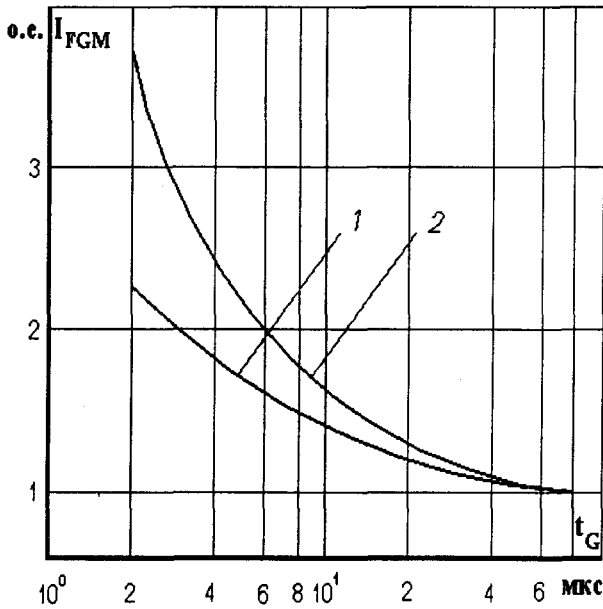
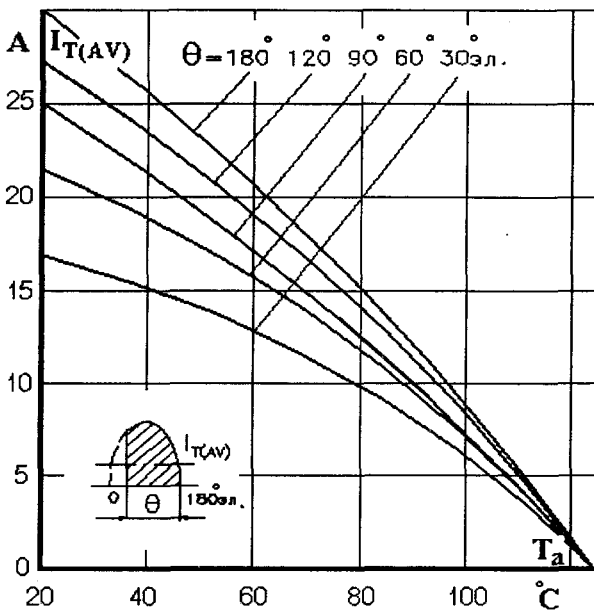
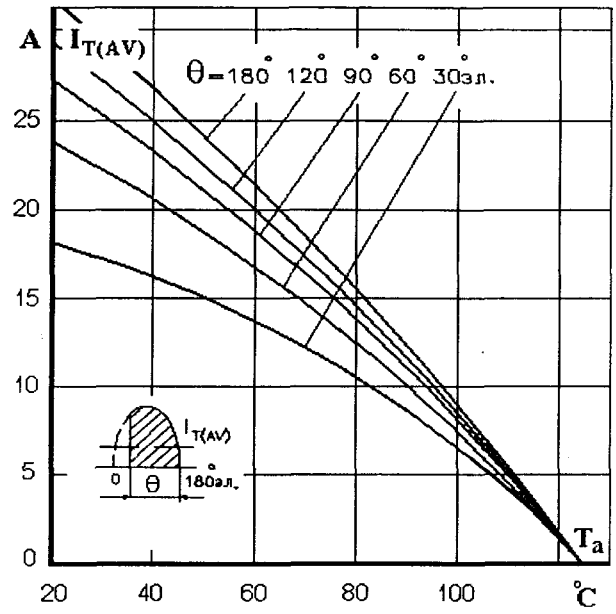


Рис. 2. 72. Зависимости отпирающего импульсного тока управления  $I_{FGM}$  от длительности управляющего импульса  $t_G$  при температуре перехода  $T_j = 25\text{ °C}$  (1) и минимально допустимой температуре  $T_{jmin}$  (2),  $U_D = 12\text{ В}$



а)



б)

Рис. 2. 73. Зависимости допустимого среднего тока синусоидальной формы частотой 50 Гц в открытом состоянии  $I_{T(AV)}$  от температуры окружающей среды  $T_a$  при различных углах проводимости и естественном охлаждении на охладителе О127\*:

а) МТБТБ4/3-50;

б) МТБТБ4/3-63.

\* см. изменение на стр. 1 pdf (стр. 53 каталога)

## МОДУЛИ НА БЫСТРОДЕЙСТВУЮЩИХ ТИРИСТОРАХ

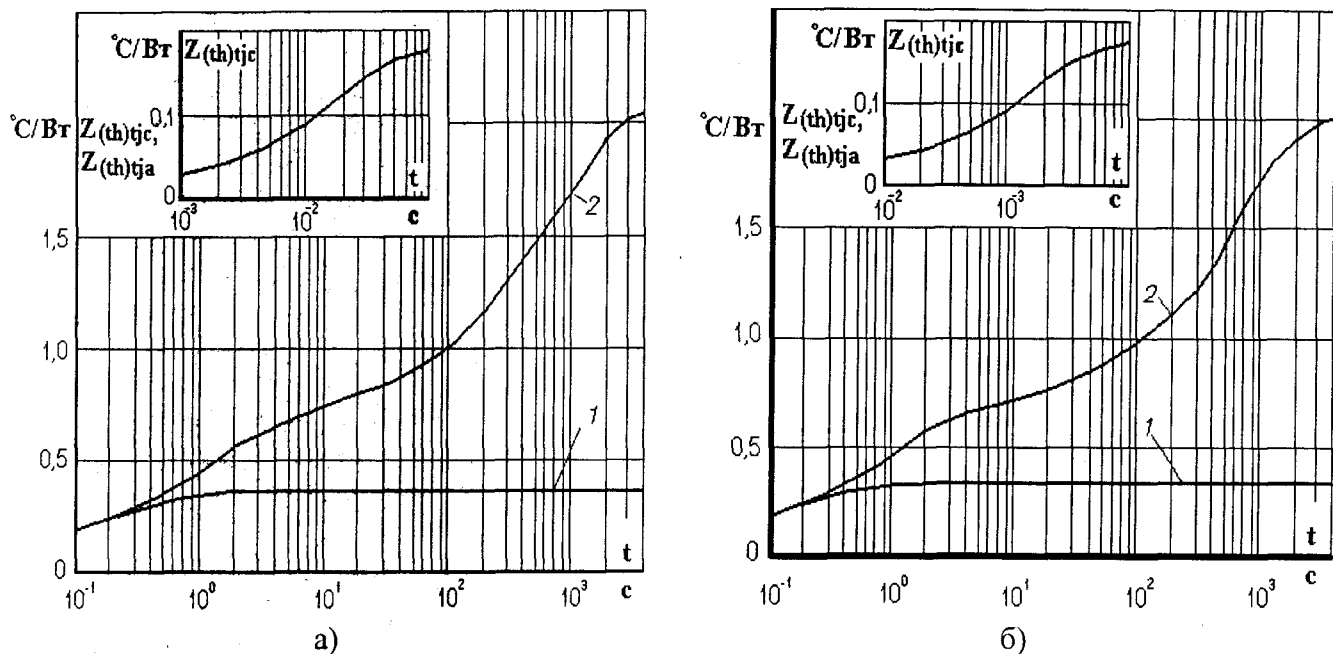


Рис. 2. 74. Зависимости переходного теплового сопротивления переход-корпус  $Z_{thjc}(1)$  и переход-среда  $Z_{thja}(2)$  от времени  $t$  для одного элемента при скачкообразном изменении мощности рассеяния на двух элементах модуля и естественном охлаждении на охладителе O127\*:

а) МТБТБ4/3-50;

б) МТБТБ4/3-63.

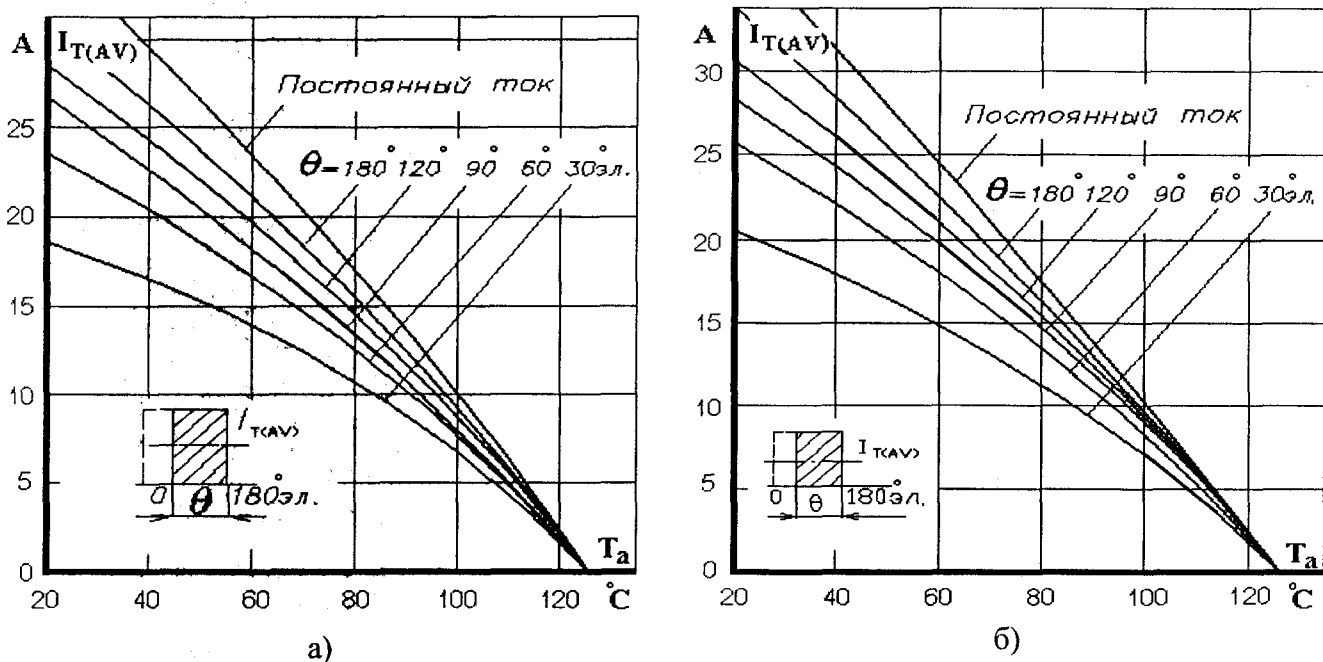


Рис. 2. 75. Зависимости допустимого среднего тока прямоугольной формы частотой 50 Гц в открытом состоянии  $I_{T(AV)}$  от температуры окружающей среды  $T_a$  при различных углах проводимости и естественном охлаждении на охладителе O127\*:

а) МТБТБ4/3-50;

б) МТБТБ4/3-63.

\* см. изменение на стр. 1 pdf (стр. 53 каталога)

## МОДУЛИ НА БЫСТРОДЕЙСТВУЮЩИХ ТИРИСТОРАХ

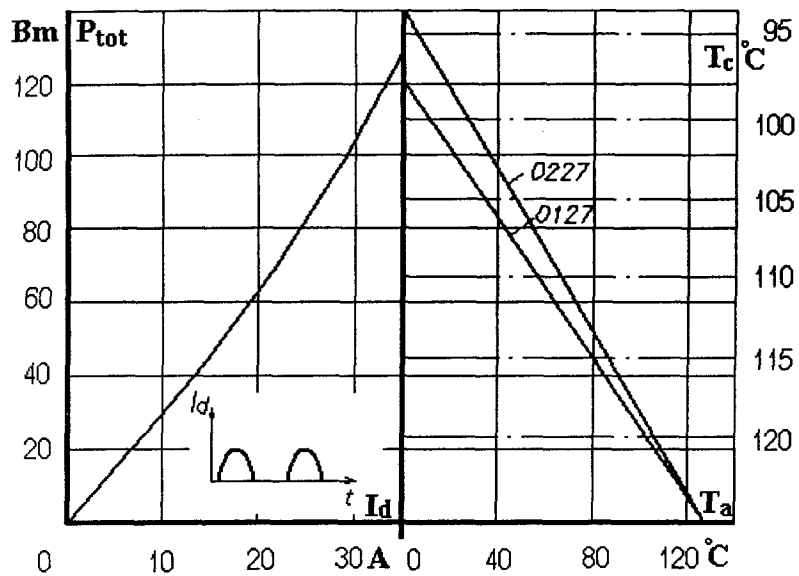


Рис. 2. 76\* Зависимости допустимой суммарной рассеиваемой мощности и допустимого выпрямленного тока одного модуля МТБТБ4/3 - 50 на охладителях О127 и О227 от температуры окружающей среды и температуры корпуса при естественном охлаждении

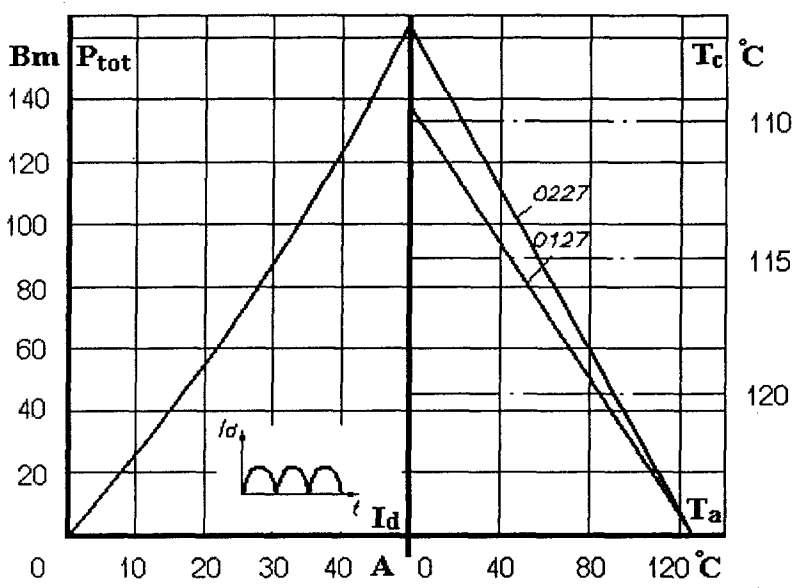


Рис. 2. 77\* Зависимости допустимой суммарной рассеиваемой мощности и допустимого выпрямленного тока двух модулей МТБТБ4/3 - 50 на охладителях О127 и О227 от температуры окружающей среды и температуры корпуса при естественном охлаждении

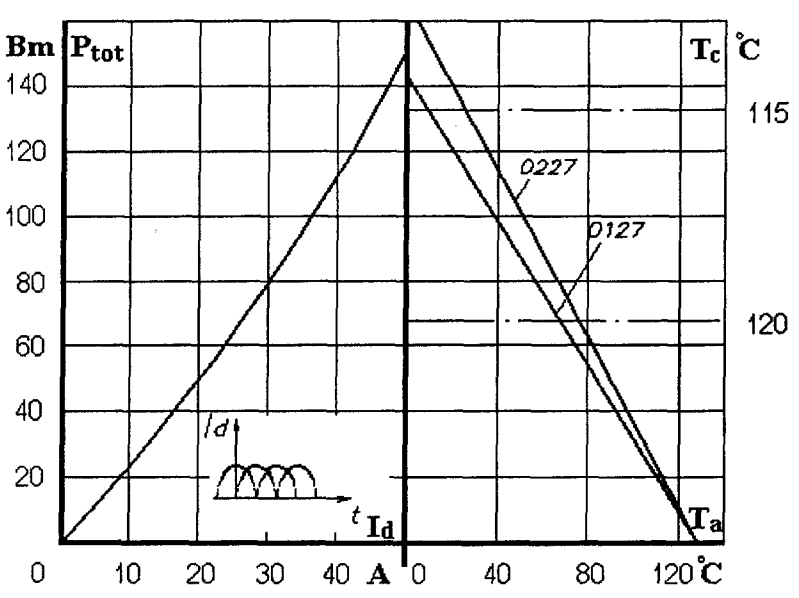


Рис. 2. 78\* Зависимости допустимой суммарной рассеиваемой мощности и допустимого выпрямленного тока трех модулей МТБТБ4/3 - 50 на охладителях О127 и О227 от температуры окружающей среды и температуры корпуса при естественном охлаждении

\* см. изменение на стр. 1 pdf (стр. 53 каталога)

### МОДУЛИ НА БЫСТРОДЕЙСТВУЮЩИХ ТИРИСТОРАХ

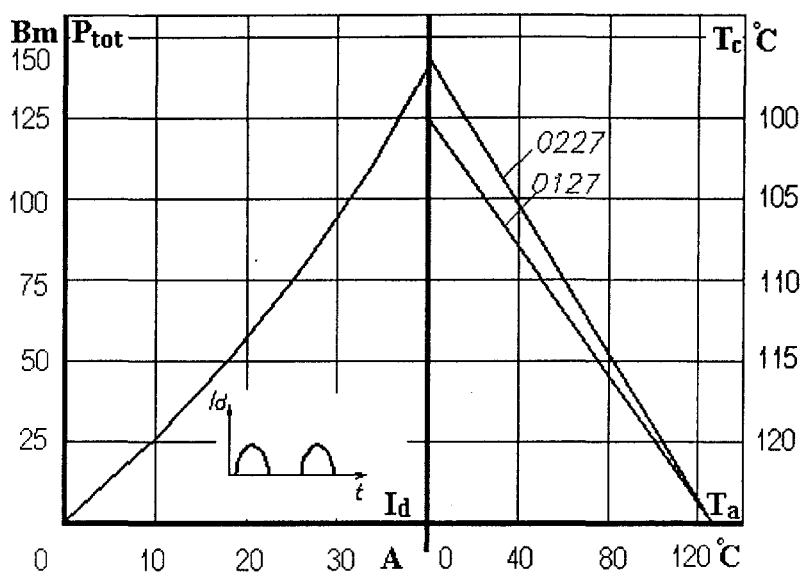


Рис. 2. 79.\* Зависимости допустимой суммарной рассеиваемой мощности и допустимого выпрямленного тока одного модуля МТБТБ4/3 - 63 на охладителях О127 и О227 от температуры окружающей среды и температуры корпуса при естественном охлаждении

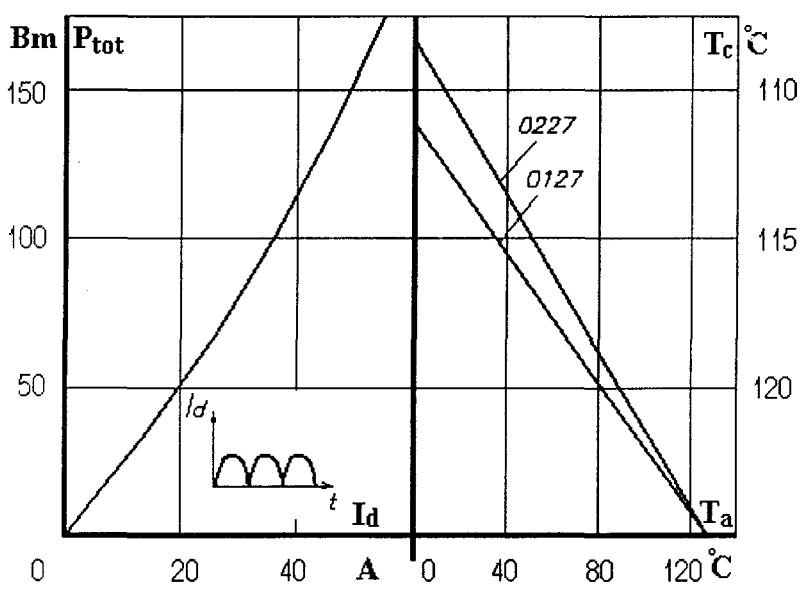


Рис. 2. 80.\* Зависимости допустимой суммарной рассеиваемой мощности и допустимого выпрямленного тока двух модулей МТБТБ4/3 - 63 на охладителях О127 и О227 от температуры окружающей среды и температуры корпуса при естественном охлаждении

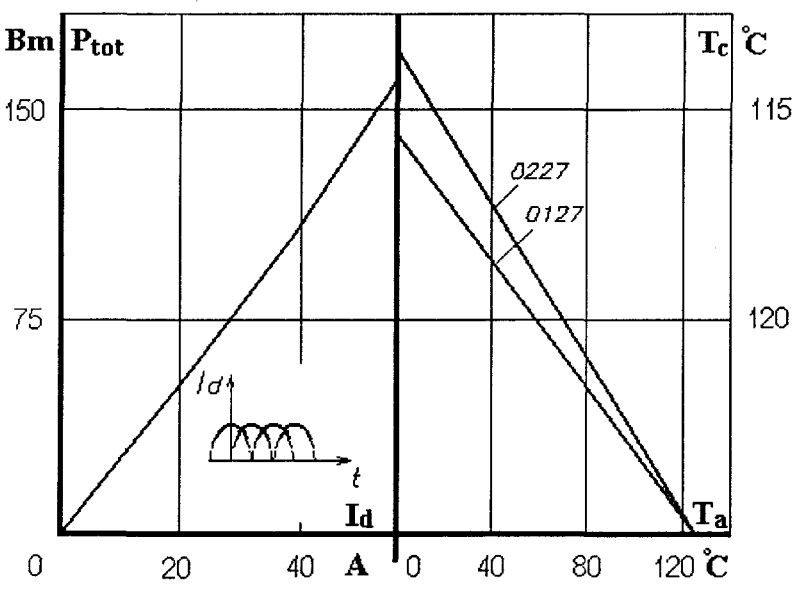


Рис. 2. 81.\* Зависимости допустимой суммарной рассеиваемой мощности и допустимого выпрямленного тока трех модулей МТБТБ4/3 - 63 на охладителях О127 и О227 от температуры окружающей среды и температуры корпуса при естественном охлаждении

\* см. изменение на стр. 1 pdf (стр. 53 каталога)